

Е.В. Стойкова

ВЛИЯНИЕ ОКРАШЕННОГО АДДИТИВНОГО И МУЛЬТИПЛИКАТИВНОГО ШУМА НА ТОЧНОСТЬ КОРРЕЛЯЦИОННО-ЭКСТРЕМАЛЬНЫХ ИЗМЕРЕНИЙ

В работах исследовано влияние аддитивных и мультипликативных помех на точность корреляционно-экстремального измерения скорости дрейфа атмосферных неоднородностей. Расчеты ошибок проведены при различных соотношениях между дисперсиями и радиусами корреляции информативных неоднородностей и помех.

1. Введение

Сравнительно новой областью в дистанционном зондировании является создание корреляционно-экстремальных систем с оптическими датчиками изображений на базе приборов с зарядовой связью [1, 2]. Представляется перспективным приложение таких систем для измерения скорости дрейфа $\mathbf{V} = (V_x, V_y)$ атмосферных неоднородностей [3]. В принципе, для определения скорости достаточны два коррелированных изображения, которые регистрируются в моменты времени $t_{1,2}$. Вектор взаимного сдвига изображений пропорционален скорости и может быть найден по положению максимума взаимно-корреляционной функции (ВКФ) изображений.

Очевидно, необходимость регистрации изображений приводит к жестким ограничениям по отношению к объему статистического материала, на основе которого вычисляется оценка ВКФ. Вот почему особенно важным для проектирования и оптимизации корреляционно-экстремальной системы с матричным датчиком является вопрос о точности измерения при небольших соотношениях между размерами регистрируемых изображений и характерными масштабами исследуемых неоднородностей. Исследованию различных аспектов этого вопроса посвящены работы [4–7].

Настоящая работа продолжает начатый в [4–7] анализ точности и рассматривает влияние аддитивных и мультипликативных помех на точность определения взаимного сдвига $\xi_m = V(t_2 - t_1)$ в случае регистрации пары одномерных пространственных реализаций

$$F(x, t_{1,2}) = m(x, t_{1,2})F_0(x, t_{1,2}) + n(x, t_{1,2}), \quad (1)$$

где $F(x, t_{1,2})$ — случайное поле, описывающее информативные (перемещающиеся со скоростью V) неоднородности со средним значением F_0 , автокорреляционной функцией (АКФ) $Q_0(\xi)$ и ВКФ $R_0(\xi | t_2 - t_1)$; $m(x, t)$ — мультипликативный шум со средним значением m , АКФ $Q_m(\xi)$ и ВКФ $R_m(\xi | t_2 - t_1)$; $n(x, t)$ — аддитивный шум с нулевым средним значением, АКФ $Q_n(\xi)$ и ВКФ $R_n(\xi | t_2 - t_1)$.

Путем введения аддитивного и мультипликативного шумов в регистрированные изображения можно учесть такие помехи, как флуктуации атмосферной прозрачности вдоль трассы зондирования, связанные с турбулентностью модуляционные шумы, излучение фона, неравномерность распределения интенсивности зондирующего излучения в плоскости измерения и флуктуации этой интенсивности во времени при активном режиме работы корреляционно-экстремальной системы, шумы в передающей и приемной системах и др. С целью единого рассмотрения этих составляющих шума с разнообразной пространственно-временной структурой были поставлены следующие задачи:

1) определение ошибки оценки сдвига в зависимости от мощности шума при различных радиусах корреляции АКФ шума;

2) определение ошибки оценки сдвига в зависимости от соотношения между пространственными радиусами корреляции информативных и шумовых неоднородностей.

Вычисление ошибок проделано для двух граничных случаев изменения шумовых неоднородностей во времени:

$$R_{m,n}(\xi | t_2 - t_1) = 0; \quad (2)$$

$$R_{m,n}(\xi | t_2 - t_1) = Q_{m,n}(\xi). \quad (3)$$

2. Метод исследования

Для решения поставленных задач использованы:

1) оценка влияния помех на относительную среднеквадратическую ошибку при определении сдвига аналитическим путем;

2) статистическое моделирование на ЭВМ корреляционно-экстремального измерения.

Оценка сдвига $\hat{\xi}_m$ может быть найдена из условия экстремума функции $A(\xi) = A\xi^2 + B\xi + C$, при помощи которой производится аппроксимация экспериментальной ВКФ в области около максимума по методу наименьших квадратов [4]. При шаге дискретизации реализаций Δ и N отсчетах в каждой из них оценка ВКФ вычисляется согласно алгоритму:

$$\hat{R}(\mu) \equiv \hat{R}(\xi = \mu\Delta | t_2 - t_1) = (N - \mu)^{-1} \sum_{i=1}^{N-\mu} (F_i^1 - \hat{F}_1)(F_{i+\mu}^2 - \hat{F}_2), \quad (4)$$

где

$$\hat{F}_{1,2} = N^{-1} \sum_{i=1}^N F_i^{1,2}; \quad F_i^{1,2} = F(x = i\Delta, t_{1,2}), \quad i = \overline{1, N}.$$

Предполагая однородность, стационарность и нормальность распределения составляющих $F_0(x, t)$, $m(x, t)$ и $n(x, t)$ и отсутствие корреляции между ними, можно записать:

$$\langle \hat{R}(\mu) \rangle = R(\mu) - G\{N - \mu, R(\mu)\}, \quad (5)$$

где

$$R(\mu) = R_0(\mu) \{R_m(\mu) + m^2\} + F_0^2 R_m(\mu) + R_n(\mu); \quad (6)$$

$$G\{N, R(\mu)\} = N^{-1}R(\mu) + N^{-2} \sum_{S=1}^{N-1} (N - S)[R(\mu + S) + R(\mu - S)]. \quad (7)$$

Символ $\langle \dots \rangle$ означает усреднение по ансамблю.

Относительные флуктуации оценки сдвига связаны с относительными флуктуациями коэффициентов A и B следующим образом:

$$\hat{\epsilon} = \frac{\hat{\xi}_m}{\xi_m} - 1 = \frac{\chi_a - \chi_b + \hat{b} - \hat{a}}{1 + \chi_a + \hat{a}}, \quad (8)$$

где

$$\begin{aligned} \chi_a &= \frac{\langle \hat{A} \rangle - A_0}{A_0}, \quad \chi_b = \frac{\langle \hat{B} \rangle - B_0}{B_0}; \\ \hat{a} &= \frac{\hat{A} - \langle \hat{A} \rangle}{A_0}, \quad \hat{b} = \frac{\hat{B} - \langle \hat{B} \rangle}{B_0}. \end{aligned} \quad (9)$$

Моменты оценок $\hat{A}, \hat{B}, \hat{C}$ определяются из выражений:

$$\langle \hat{A}_i \hat{A}_j \rangle = \sum_{m_1}^{m_2} \sum_{m_1}^{m_2} A_{i\mu} A_{j\nu} \langle \hat{R}(\mu) \hat{R}(\nu) \rangle, \quad i, j = \overline{1, 3}, \quad (10)$$

где $A_1 = A$, $A_2 = B$, $A_3 = C$. Число ординат ВКФ, участвующих в аппроксимации, равно соответственно $m_2 - m_1 + 1$. Выражения для коэффициентов $A_{i\mu}$ очевидны и поэтому не приводятся. Величины A_0 и B_0 имеют следующий смысл: это значения коэффициентов A и B , которые получаются, когда при помощи $A(\xi)$ аппроксимируется $\langle \hat{R}_0(\xi | t_2 - t_1) \rangle$. При отсутствии геометрических деформаций регистрируемых изображений, таких как изменение масштаба или шага дискретизации, максимум $\langle \hat{R}_0(\xi | t_2 - t_1) \rangle$ будет находиться в точке $\xi = \xi_m$, т.е. всегда можно принять, что истинный сдвиг равен отношению $-B_0/2A_0$.

Оценка сдвига является отношением коррелированных величин. Таким образом, даже при небольшой длине реализаций, когда флуктуации оценок ВКФ составляют десятки процентов, точность при определении сдвига будет удовлетворительной. В то же время, вследствие нелинейной связи ме-

жду $\hat{\xi}_m$ и $R(\mu)$, вычисление среднеквадратического отклонения $\hat{\xi}_m$ при небольшой длине реализаций не всегда возможно. В таких случаях характер влияния различных факторов на точность измерения можно установить, исследуя поведение среднеквадратического отклонения числителя в формуле (8):

$$\omega = \frac{\sqrt{<(\chi_a - \chi_b)^2 + (\hat{b} - \hat{a})^2>}}{|1 + \chi_a|}. \quad (11)$$

Для этой цели задаются корреляционные функции информативных неоднородностей и помех и вычисляются ковариации $\langle \hat{R}(\mu) \hat{R}(v) \rangle$ и $\langle \hat{A}_i \hat{A}_j \rangle$ $i, j = 1, 2$. Вычисление $\langle \hat{R}(\mu) \hat{R}(v) \rangle$ производится при помощи полученных в [8] формул, учитывающих смещение оценок $\hat{R}(\mu)$ при небольшой длине реализаций. Аналогичным образом о поведении систематической ошибки при определении сдвига $\langle \hat{\xi}_m / \hat{\xi}_m \rangle - 1$ можно судить по величине

$$\chi = \frac{\chi_a - \chi_b}{1 + \chi_a}. \quad (12)$$

Очевидно, такой подход к проблеме точности приводит только к качественным результатам. Он, однако, обладает тем преимуществом, что позволяет эффективно рассмотреть большое количество разнообразных ситуаций и указать на те значения параметров помех, при которых точность измерения становится неприемлемой.

Для получения количественных зависимостей проведено статистическое моделирование корреляционно-экстремального измерения при условии нормального распределения составляющих в (1). Генерирование реализаций составляющей сигнала $\sigma_z z(i\Delta)$, $i = \overline{1, N}$ осуществляется путем свертки δ-коррелированного поля $y \in N(0, 1)$ с коэффициентами подходящего фильтра для получения гауссовой корреляционной функции [9] при заданном соотношении между шагом дискретизации и радиусом корреляции этой составляющей. Каждая генерированная реализация информативного случайного поля $F_0(x, t)$ разделяется на две перекрывающиеся части. Таким способом образуются независимые пары реализаций при заданном отношении между их сдвигом ξ_m и длиной L .

Основной целью моделирования является установление величины средней по ансамблю ошибки $\delta = |\langle \hat{\xi}_m / \xi_m \rangle - 1|$. При отсутствии помех эта ошибка составляет несколько процентов. В то же время среднеквадратическое отклонение оценки $\hat{\delta} = |\hat{\xi}_m / \xi_m - 1|$ в случае коротких реализаций может превысить 1,5–2. Ввиду этого обстоятельства было выдвинуто требование об обеспечении 10–20%-ной точности при определении δ , что означает необходимость от 500 до 1000 пар реализаций в заданной серии при коэффициенте доверия 0,95. Каждая серия генерируется при определенных соотношениях между дисперсиями и радиусами корреляции информативных и шумовых неоднородностей $\sigma_0^2, \sigma_m^2, \sigma_n^2$ и a_0, a_m, a_n .

3. Результаты анализа

Полученные при помощи описанных выше подходов результаты показаны на рис. 1–4.

На рис. 1 представлена зависимость среднеквадратического отклонения ω от параметра $r_n = \sigma_n^2 / \sigma_0^2$ для аддитивного шума при различных соотношениях $q_n = a_n / a_0$. Сплошными линиями показаны результаты для $L = 5 a_0$, а пунктирными – для $L = 10 a_0$. Как следует из формулы (5), анализ воздействия гауссовой мультиплективной помехи при контрастности информативных неоднородностей $c_0 = \sigma_0 / F_0$ меньше 30% практически можно свести к случаю аддитивной помехи. Для иллюстрации на рис. 1 приведена кривая 5, полученная для мультиплективного шума при $q_m = \sigma_m / m = 1$ и $c_0 = 50\%$. Вдоль оси абсцисс в этом случае стоит отношение c_m^2 / c_0^2 ($c_m = \sigma_m / m$). Из приведенных кривых можно сделать вывод, что ошибка при определении сдвига возрастает практически пропорционально мощности шума, причем скорость ее возрастания существенно зависит от соотношения между средними размерами шумовых и информативных неоднородностей.

На рис. 2 приведены зависимости $\omega(q_n)$ и $\chi(q_n)$ для аддитивного шума при длине реализаций $L = 5a_0$, $\xi_m = 0,3L$ (сплошные линии) и $\xi_m = 0,6L$ (пунктирные линии). Кривые 1, 2, 3, 4 (1', 2', 3') соответствуют ВКФ шума (2), а 5, 6, 7, 8 – ВКФ (3). Аналогичные вычисления проведены и для $L = 10 a_0$. Как показывают полученные результаты, ошибка в определении сдвига в случае ВКФ (2) максимальна, когда средние размеры неоднородностей шума в два раза меньше размеров информативных неоднородностей. При этом положение максимума $\omega(q_n)$ не зависит от длины и сдвига реализаций, незначительно варьируя около $q_n = 0,5 \div 0,6$ для различных моделей корреляционной функции шума.

Совсем другой характер у зависимости $\omega(q_n)$ при полной корреляции шумовых неоднородностей в рассматриваемой паре. В этом случае $\omega(q_n)$ также имеет экстремальное поведение, но положение ее максимума зависит от сдвига из-за систематической ошибки χ . Характер зависимости $\chi(q_n)$ определяется как видом корреляционных функций R_0 и R_n , так и величиной сдвига. На рис. 2 эта зависимость показана при $\xi_m = 0,3L$ и $L = 5 a_0$ для $r_n = 0,25$ (кривая 4') и $r_n = 0,5$ (кривая 5'). Вычисления проведены для аддитивной помехи с гауссовой корреляционной функцией. При $\xi_m = 0,6L$ систематическую ошибку необходимо учитывать при $q_n > 1,5$.

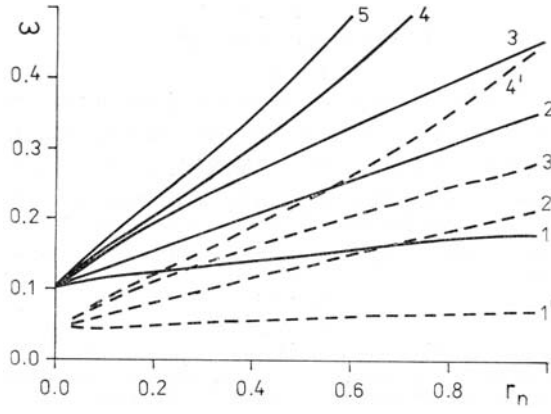


Рис. 1. Зависимость среднеквадратического отклонения ω от мощности аддитивного шума при различных соотношениях между средними размерами шумовых и информативных неоднородностей для $L = 5 a_0$ (сплошные линии) и $L = 10 a_0$ (пунктирные линии) (кривые 1, 1' – белый шум; 2, 2' – ВКФ (2) при $q_n = 0,2$; 3, 3' – ВКФ (3) при $q_n = 0,5$; 4, 4' – ВКФ (3) при $q_n = 0,5$). Кривая 5 показывает воздействие мультипликативного шума при $c_0 = 50\%$ и $q_m = 1$

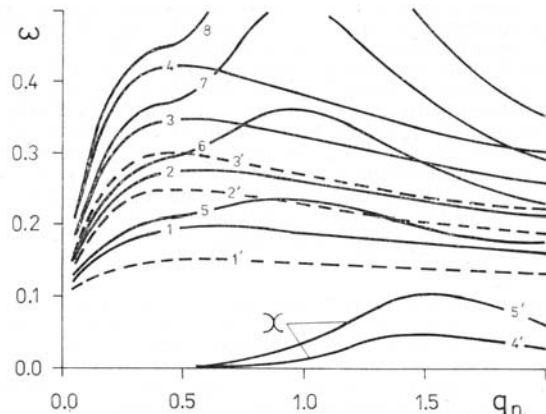


Рис. 2. Зависимость среднеквадратического отклонения ω от соотношения между средними размерами шумовых и информативных неоднородностей для случая аддитивной помехи при $L = 5 a_0$, $\xi_m = 0,3L$ (сплошные линии) и $\xi_m = 0,6L$ (пунктирные линии). Кривые 1, 2, 3, 4 (1', 2', 3') соответствуют ВКФ (2), а 5, 6, 7, 8 – ВКФ (3) при $r_n = 0,25; 0,5; 0,75$ и 1 соответственно. Кривые 4' и 5' показывают поведение систематической ошибки χ при $\xi_m = 0,3L$, $L = 5 a_0$ и $r_n = 0,25$ и 0,5

Полученные результаты полностью подтверждаются данными численного эксперимента (рис. 3), который охватывал обработку реализаций с длиной 5 и $10 a_0$ и контрастностью 10% при $r_n = 0,25$ и 0,5. Экспериментальные точки получены для q_n в интервале от 0 до 2 с шагом 0,25. Кривые 1, 2, 3, 4 показывают поведение средней для данной серии изображений ошибки δ оценивания $\hat{\xi}_m$ для ВКФ (2), а 1', 2', 3', 4' – для ВКФ (3).

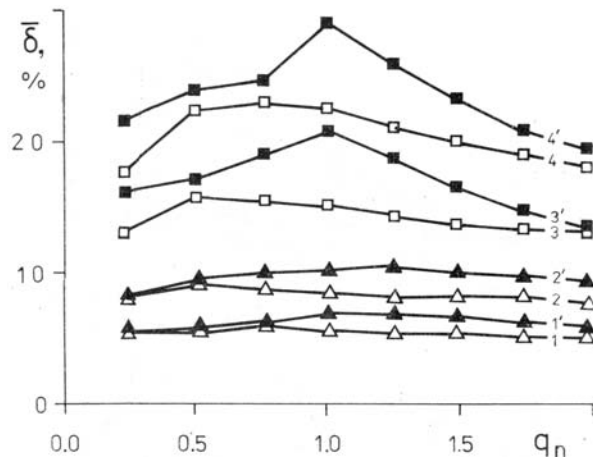


Рис. 3. Средняя ошибка при определении сдвига в зависимости от соотношения между средними размерами шумовых и информативных неоднородностей по данным статистического моделирования для случая аддитивной помехи при $L = 5 a_0$ (кривые 1, 1', 2, 2') и $L = 10 a_0$ (кривые 3, 3', 4, 4'); 1, 2, 3, 4 – ВКФ (2), 1', 2', 3', 4' – ВКФ (3); 1, 1', 3, 3' – $r_n = 0,25$, 2, 2', 4, 4' – $r_n = 0,5$

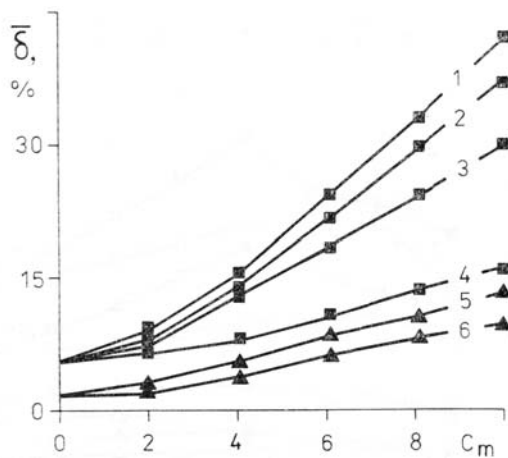


Рис. 4. Средняя ошибка при определении сдвига в зависимости от контрастности мультипликативной помехи при $\xi_m = 0,3L$ (1—4— $L=5a_0$, 5, 6— $L = 10a_0$); кривые 1, 2 — ВКФ (3) при $q_m = 1$ и $0,5$; 3 — ВКФ (2) при $q_m = 0,5$; 4 — белый шум; 5 — ВКФ (2) при $q_m = 0,5$; 6 — ВКФ (3) при $q_m = 0,5$

Необходимо отметить, что в [10] также указывается на экстремальное поведение ошибки при определении сдвига в зависимости от соотношения радиусов корреляции изображения эталона и шумовых неоднородностей для навигационной корреляционно-экстремальной системы. Приводимые в [10] результаты получены при условии, что реализация шума добавляется только к одной из реализаций в паре. В этом случае дисперсия оценки сдвига максимальна при одинаковых пространственных масштабах эталона и шумовых неоднородностей.

На рис. 4 представлена зависимость $\bar{\delta}$ от контрастности c_m шумовых неоднородностей при мультипликативной помехе для реализаций длиной 5 и $10a_0$ при $\xi_n = 0,3L$, $c_0 = 10\%$ для двух граничных случаев (2) и (3) при различных соотношениях q_m . В целом рис. 4 позволяет сделать заключение, что при $c_m/c_0 > 0,4$ точность измерения становится неприемлемой.

На основе полученных аналитически и при помощи моделирования результатов сделаны следующие выводы:

- 1) ошибка корреляционно-экстремального измерения возрастает практически пропорционально мощности шума независимо от его пространственно-временной структуры;
- 2) зависимость этой ошибки от соотношения между средними размерами шумовых и информативных неоднородностей имеет экстремальный характер, причем положение ее максимума зависит от эволюции шума во времени и от сдвига реализаций.

1. Goetz A. et al. — Proc. IEEE, 1985, v. 73, p. 7—30.
2. Stoykova E. — Proc. XVIII intern. symp. on remote sensing of environment, France, 1984, v. 1.
3. Фердинандов Э. С., Митев В. А., Гочелашвили К. С. — Квантовая электроника, 1987 (в печати).
4. Stoykova E. — Rev. Roum. Phvs., 1987, v. 32, № 1—2, p. 241—244.
5. Stoykova E. — Bulg. J. Phys., 1987, v. 14, № 3, p. 271—282.
6. Stoykova E., Stoykov V. — Bulg. J. Phys., 1987, v. 14, № 3, p. 283—296.
7. Stoykova E. — Bulg. J. Phys., 1987, v. 14, № 4, p. 349—360.
8. Stoykova E., Ferdinandov E. et al. — Bulg. J. Phys., 1985, v. 12, № 1, p. 78—89.
9. Быков В. В. Цифровое моделирование в статистической радиотехнике. — М.: Сов. радио, 1971.
10. Антипов В. В., Буймов А. Г. — Автометрия, 1985, № 3, с. 27—31.

Институт электроники
БАН, София

Поступила в редакцию
4 мая 1988 г.

E. V. Stoykova. **Influence of Additive and Multiplicative Coloured Noise on Correlation-Extremal Measurement Accuracy.**

The influence of additive and multiplicative disturbances on correlation-extremal measurement of atmospheric inhomogeneities drift velocity is investigated. Error calculations are performed for various ratios of variances to correlation radii of the informative inhomogeneities and the disturbances.